

*AlB<sub>x</sub>*

V 4123

1953

AlB<sub>2</sub> (Ttr)

Lihl F., Jenitschek P.

Z. Metallkunde, 1953, 44, 414-17

Decomposition of hexagonal AlB<sub>2</sub>

F

Be

CA., 1954, 28i



Саласоров Т.В.

1955

ALB<sub>12</sub>

Журавлев Н.Н.

Рус. Медицинск. и фармакол.-  
Физиол., 1955, 1, № 3, 564-566.

О борьбе с вспышкой.

ALB<sub>12</sub>.

02-56-12-34654.

1958

V 4124

AlB<sub>10</sub> (Tm)

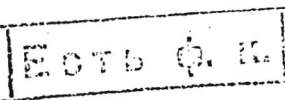
Kohn J.A., Katz G., Giardini A.A.  
Z.Kristallogr., 1958, III, N 1, 53-62.

AlB<sub>10</sub>, a new phase, and a critique an the  
aluminum borides

Be

F

PX., 1959, 48563



1960

V 4125

AlB<sub>12</sub> (Tm)

Kohn J.A., Eckart D.W.

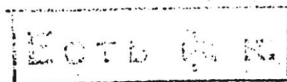
Analyt. Chem., 1960, 32, N 2, 296-298

Aluminum boride, AlB<sub>12</sub>

Be

F

PX., 1960, 68439



1961

AlB<sub>2</sub>

4B18. Получение и устойчивость диборида алюминия. Becher H. J. Über die Darstellung und Beständigkeit von Aluminiumdiborid. «Z. anorgan. und allgem. Chem.», 1961, 308, № 1-6, 13—22 (нем.; рез. англ.).— Исследованы условия синтеза AlB<sub>2</sub> (I) нагреванием смеси B или AlB<sub>n</sub> с избытком Al; избыток Al может быть быстро извлечен действием р-ра HCl в абс. эфире, не разрушающего I. При 780—800° образуются смеси I и β-AlB<sub>12</sub> (II); избыток Al мало влияет на состав продукта, но увеличение дисперсности реагентов приближает состав к I. Нагревание II с 10-кратным избытком Al при 800—920° лишь в очень малой степени (~1%) превращает II в I. Выше 980° I распадается на Al и II. Однако при нагревании B или II с 10—12-кратным кол-вом Al при 1250—1450° паряду с II получаются листочки I (в кол-ве 5—15% от всего нерастворимого остатка); повышение т-ры сплавления улучшает, а медленное охлаждение сплава ухудшает выход I. Обсуждено строение I и отмечено сходство его с MgB<sub>2</sub>.

И. Рысс

ж. 1962. 31

ALBz2      Om. 22594      VI-3845/1961

Борев А. С., Верхоречье ТИ. С.  
и пр.,

УЗб. АН СССР. Омг. мехн. Н.

Кп, дж; меморандум о мониторинге,  
1961, №1, 142-145.

1961

AlB<sub>2</sub>

22Б278. О фазовой диаграмме системы алюминий — бор. Серебрянский В. Т., Эпельбаум В. А. «Ж. структуры химии», 1961, 2, № 6, 748—750.— Сплавы Al—B исследованы методом бесконтактной термографии до 1400° и рентгенографически. Установлено, что AlB<sub>2</sub> образуется при т-рах 650—800° и устойчив при комнатной т-ре. Индицирование дебаеграммы  $\alpha$ -AlB<sub>12</sub> показывает, что он является тетрагон. модификацией «графитоподобного бора». При повышении т-ры до 980° AlB<sub>2</sub> разлагается по схеме  $\text{AlB}_2 \rightarrow \text{AlB}_{12} + \text{Al}$ .

Л. Резницкий

x. 1962.22

1961

Al-B

The phase diagram of the Al-B system. V. T. Serebryanskii and V. A. Epel'baum. *Zh. Strukt. Khim.* 2, 748-50 (1961). Mixts. of a wide range of comps. were studied by x-ray and thermogravimetric methods. Formation of  $\text{AlB}_2$  starts at  $650^\circ$ , but the optimum temp. is  $800^\circ$  for 15 hrs.  $\text{AlB}_2$  is stable at room temp., contrary to earlier reports (Lihl and Jenitschek, *CA* 48, 28). At  $\sim 950^\circ$ ,  $\text{AlB}_2$  decomp. into Al and  $\text{AlB}_{12}$  (the  $\alpha$ , tetragonal modification). No other forms of  $\text{AlB}_{12}$  were observed.

M. J. Newlands

C.A. 1963-58-9

8447 fg

1961

19Б283. К диаграмме состояния системы алюминий — бор. Серебрянский В. Т., Эпельбаум В. А., Жданов Г. С. «Докл. АН СССР», 1961, 141, № 4, 884—886.—Система Al — В исследована методами бесконтактной термографии и рентгенографич. анализа. Плавка спрессованных образцов производилась в атмосфере Не в тиглях из коруида или BeO. Определялась пикнometрич. плотность полученных в чистом виде фаз. В системе образуются соединения  $AlB_2$  ( $a$  3,01,  $c$  3,26 Å;  $d$  3,09 г/см<sup>3</sup>),  $AlB_{10}$  ( $d$  2,72 г/см<sup>3</sup>),  $\alpha$ - $AlB_{12}$  ( $a$  10,15,  $c$  14,29 Å;  $d$  2,62 г/см<sup>3</sup>) и  $\beta$ - $AlB_{12}$  ( $d$  2,60 г/см<sup>3</sup>). В области  $93\% < B < 100\%$  период  $c$  увеличивается для В(ромб.) на 0,11 Å, что связано с образованием твердого р-ра Al в боре. Перитектич. р-ция при  $975^\circ$   $AlB_2 \rightarrow AlB_{12} + Al$ . Природа перитектики при  $1450^\circ$  не установлена; перитектики при  $1550$  и  $1660^\circ$  ограничивают область существования  $AlB_{12}$ , а перитектики при  $1660$  и  $1850^\circ$  — область существования  $AlB_{10}$ .

Л. Резницкий

Х. 1962. 19

1962

Duhart F.

AEB<sub>x</sub>

MgB<sub>2</sub>

MgB<sub>3</sub>

MgB<sub>6</sub>

MgB<sub>6-17</sub>

new structure  
cb - Ra

C.A. 1963-58, I

213cd

The borides of magnesium and aluminum

" Ann. Chim. (Paris) 7, 339 (1962)

(Cf. MgB<sub>x</sub>) I

1963

V 3794

HF, BrF, AlF, AlHF (Interagcy. J. - ba )

BeF<sub>2</sub>(D), AlC, AlB, Al<sub>2</sub>O<sub>3</sub>( ΔHcombust)

Al<sub>4</sub>C<sub>3</sub> (ΔHf)

Armstrong G.T.

Proc. Meeting Interagency Chem. Rocket  
Propulsion Group Thermochem., Ist,  
New York, 1963, 1, 49-80 (Pub. 1964)

Thermodynamic studies on substances  
of interest in a light element program.  
I. Inorganic compounds

Be, M, J, KJ

CA., 1965, 62, N1, 730

1963

~~AlB<sub>2</sub>, AlB<sub>12</sub>~~ У18 Б413. Термодинамические свойства биметаллических соединений. Fasolino Ludwig G. Thermodynamic properties of bi-metallic compounds. Nat. Res. Corp. Cambridge, Mass., 1963, 18 pp. Ref. «Scient. and Techn. Aerospace Repts», 1963, 1, № 4, 228 (англ.)

С целью узнать, существуют ли растворители борадиборида алюминия и додекаборида алюминия, позволяющие определить теплоты образования этих соединений методом растворения, опробованы 30 р-рителей. Порошкообразный бор удовлетворительно растворяется в кислом р-ре перидата калия при 30°. Этот р-ритель не производит заметного действия в  $AlB_2$  и  $AlB_{12}$ . Ни одна из опробованных жидкостей не может служить р-рителем этих боридов даже при повышенных т-рах. Следовательно, теплоты образования  $AlB_2$  и  $AlB_{12}$  должны быть определены методом, отличным от калориметрии растворения в кислоте.

Реферат автора.

Х. 1965. 18

1963

5 Б217. О кристаллической структуре  $\text{AlB}_{10}$ . Will  
Georg. On the crystal structure of  $\text{AlB}_{10}$ . «J. Amer.  
Chem. Soc.», 1963, 85, № 15, 2335—2336 (англ.)

Проведено предварительное рентгенографич. исследование структуры  $\text{AlB}_{10}$  на основе эксперим. данных, полученных с монокристального материала. Параметры ромбич. решетки:  $a$  8,88,  $b$  9,10,  $c$  5,69 Å,  $Z=5,2$ , ф. гр.  $B\bar{v}mt$ . Модель структуры построена с помощью двумерных синтезов Паттерсона и подтверждена вычислением трансформанты Фурье для молекулы. Конфигурация расположения атомов В уточнена до  $R=0,204$  методом наименьших квадратов. Основу структуры составляют икосаэдры  $\text{B}_{12}$ , внутри которых помещается еще по одному атому В. Элементарная ячейка содержит 4 таких полиэдра, т. е. 52 атома В, что соответствует  $Z=5,2$ . Центры В-икосаэдров помещаются в позиции 4(с) с координатами  $x, y, z$ , равными 0,1; 0,25; 0. Предварительный расчет межатомных расстояний В—В в пределах одного икосаэдра приводит к 1,77—1,91 Å, что

Сен. 1963.

Х. 1964·5

согласуется с данными по структурам элементарного бора. Положение атомов Al пока не определено. Предполагается, что в соответствии с необычным нецелочисленным значением  $Z$  атомы Al могут статистически занимать несколько позиций, замещая или не замещая атомы В.

Л. Воронков

ALB<sub>x</sub> Domalski E.S. 1964

ALB<sub>2</sub>.215 and ALB<sub>11</sub>, 9G. Armstrong G.T.

5TT, N 7, CP. 25.

s He, s Hg.

1964

Al - Sogni

Presence of carbon in aluminum borides. V. I. Matkovich, J. Economy, and R. F. Giese, Jr. (Carborundum Co., Niagara Falls, N.Y.). *J. Am. Chem. Soc.* 86(12), 2337-40(1964). The effect of C on the formation of the reported phases in the Al-B system was investigated. The results indicate that there are only 3 pure binary Al borides,  $\text{AlB}_2$ ,  $\alpha\text{-AlB}_{12}$ , and  $\gamma\text{-AlB}_{12}$ . The phase referred to in the literature as  $\beta\text{-AlB}_{12}$  was found to correspond to a stoichiometry  $\text{C}_2\text{Al}_3\text{B}_{48}$ ; however, x-ray analysis of this material indicated the presence of 2 phases. The 2 phases are derived from a single high-temp. phase with a compn. of  $\text{C}_2\text{Al}_3\text{B}_{48}$  which disproportionates on cooling. The phase referred to in the literature as  $\text{AlB}_{10}$  was found to correspond to a stoichiometry  $\text{C}_4\text{AlB}_{24}$ . This compn. was confirmed by a structure analysis. Both ternary, Al-B-C, phases have an integral no. of formula units per crystallographic unit cell. A new ternary phase corresponding to the formula  $\text{Al}_4\text{C}_4\text{B}_{1-3}$  was discovered. A method for prepn. of crystals of each phase is described.

RCIC

C. I. 1964 C 113 2696a

V-5310 1965

$\text{BF}_3(2)$ ,  $\text{CF}_4(2)$ ,  $\text{B}_4\text{C}$  (tb),

$\underline{\text{AlB}_{2,215}}$  (tb),  $\alpha\text{-AlB}_{12}$  (tb),  $\gamma\text{-AlB}_{12}$  (tb).  
( Hf) ( Hcomb. in F)

Domalcki E.S., Armstrong G.T.,

N.S. Dept. Comm. AD525336,

Avail. CFSTI, 38pp, 1965.

Heats of formation of metallic borides  
by fluorine bomb calorimetry.

M,

F

CA., 1967, 66, N20, 89094s.

AlB<sub>12</sub>

1966

4 В23. Влияние некоторых факторов на процесс алюминотермического получения соединения AlB<sub>12</sub>. Неронов В. А., Ламихов Л. К. «Изв. АН СССР. Неорганические материалы», 1966, 2, № 7, 1213—1217

Найдены оптим. условия, обеспечивающие извлечение В до 75% из AlB<sub>12</sub>. Показано, что на фазовый состав продуктов р-ции существенное влияние оказывают: кол-во Al в шихте и скорость охлаждения продуктов реакции.

По резюме авторов

X·1967·4

Бориды  $AlB_x$

1966

автосигнал

2 В7 К. Бориды алюминия. Неронов В. А. Ново-  
сибирск, «Наука», 1966, 70 стр., илл., 28 к.

Х. 1967. 2

*AlB<sub>10</sub>*

1966

11 Б331. Кристаллическая структура высших боридов алюминия. Will Georg, Crystal structure of higher aluminium borides. «Nature» (Engl.), 1966, 212, № 5058, 175—176 (англ.)

Рентгенографически исследован борид  $\text{AlB}_{10}$  (I). Кристаллы ромбич.,  $a = 8,881$ ;  $b = 9,100$ ;  $c = 5,690 \text{ \AA}$ ,  $Z = 5,2$ , ф. гр.  $B\bar{2}/bmm$ . Структура определена трехмерными обычными и разностными синтезами Фурье и уточнена до  $R = 9,6\%$ . Она представляет собой упаковку икосаэдров (И)  $\text{B}_{12}$ , между к-рыми статистически расположены 2,8 атома  $\text{B}_{(1)}$  в положениях 4(c), 2,7 атомов  $\text{Al}_{(1)}$  в 8(f), 1,0  $\text{Al}_{(2)}$  в 4(b) и 1,1  $\text{Al}_{(3)}$  в 16(h). Внутри И расстояние B—B равно 1,77—1,83  $\text{\AA}$ . Из 12 атомов B в И 6 связаны с со-

x. 1967. 11

седними И ( $B-B$  1,804). Остальные 6 атомов В связаны с  $Al_{(1)}$  ( $B-Al_{(1)}$  1,625) и, возможно, с  $B_{(1)}$  ( $B-B_{(1)}$  1,94—2,06 Å). Каждый атом  $Al_{(1)}$  связан с тремя И в плоскостях (100), а  $B_{(1)}$  — с 4 И в плоскости (010). Ко-валентные радиусы В и  $Al_{(1)}$  в I составляют 0,90 и 0,72 Å. Из анализа межатомных расстояний следует, что валентность атома  $Al_{(1)}$  равна 1, а  $Al_{(2)}$  и  $Al_{(3)}$  — 2 или 3. Рассматривают возможные электронные переходы в I. Для образования стабильных И и их связи с соседними требуется передача на связи В в И 1,5 электрона от  $B_{(1)}$  и 0,5 электрона от  $Al_{(1)}$ . Структура может быть описана как  $(B_2)_4B_4 \cdot 5,2 Al$ . Отмечается, что структура  $C_4AlB_{24}$  представляет результат замещения  $B_{(1)}$  и  $Al_{(1)}$  на атомы С, тогда как  $AlB_{12}$  имеет иную, более сложную, структуру.

В. Нешпор

*AlB<sub>12</sub>*

*1987*

) 22 В34. О получении кристаллических боридов алюминия процессом осаждения пара. Bliznakov G., Peshev P., Niemyski T. On the preparation of crystalline aluminium borides by a vapour deposition process. «J. Less-Common Metals», 1967, 12, № 5, 405—410 (англ.)

Изучена возможность получения кристаллических боридов Al, богатых B, путем осаждения пара. Газовая фаза состояла из чистого AlBr<sub>3</sub>, BCl<sub>3</sub> и H<sub>2</sub>. Осаждение на W приводило к образованию сложной смеси боридов W и Al. Кристаллы C<sub>4</sub>AlB<sub>24</sub> (I) осаждали на графитовую поверхность при 1400—1600°, для возможности дальнейшего роста I помещали в газовую среду, т. к. иначе на них образовывался бы β-ромбоэдрический B. Соединение  $\alpha$ -AlB<sub>12</sub> получали при т-ре >1600°. I имеет ромбическую решетку и кристаллы с черной блестящей поверхностью;  $\alpha$ -AlB<sub>12</sub> имеет тетрагональную (псевдокубическую) решетку.

З. Рогачевская

*x. 1987. 22*

Отмечек 436 | 1967

AlB<sub>2</sub>  
2

20 Б766. Термодинамические характеристики образования диборида алюминия и  $\alpha$ -додекаборида алюминия. Domalski Eugene S., Armstrong George T. Heats of formation of aluminum diboride and aluminum dodecaboride. «J. Res. Natl. Bur. Standards», 1967, A71, № 4, 307—315 (англ.)

AlB<sub>12</sub>

Методом сожжения в бомбе в атмосфере фтора (16—21 атм) определены термодинамические характеристики образования  $\text{AlB}_2$  (I) и  $\alpha\text{-AlB}_{12}$  (II) до  $\text{BF}_3$  (газ.) и  $\text{AlF}_3$  (крист.), равные, соотв. —887 и —3565 ккал/моль. На основании полученных и литературных данных вычислены  $\Delta H^\circ$  (обр. 298,15, ккал/моль), равные  $-16 \pm 3$  для I и  $-48 \pm 10$  для II. Исследуемые образцы сжигались в смеси с тефлоном. Погрешности  $\Delta H_{\text{обр}}^\circ$  I и II включают погрешности эксперим. определений, погрешности анализов и погрешности, связанные с возможной нестехиометрией образцов.

Б. Тимофеев

X. 1968 - 20

<i>AlB<sub>2</sub></i>	<i>Ommick 436</i>	<i>1987</i>
<i>δ-AlB<sub>12</sub></i>		
<i>ΔH<sub>f</sub></i>		
	99329c Heats of formation of aluminum diboride and α-aluminum dodecaboride. Eugene S. Domalski and George T. Armstrong. (Natl. Bur. of Stds., Washington, D.C.). <i>J. Res. Natl. Bur. Stand.</i> , A 71(4), 307-15(1967)(Eng). The heats of combustion of AlB <sub>2</sub> and α-AlB <sub>12</sub> were detd. in a bomb calorimeter with a fluorine oxidant as -887 and -3565 kcal./mole, resp., with particular attention paid to impurities and stoichiometry. The heats of formation obtained were AlB <sub>2</sub> , $-16 \pm 3$ kcal./mole and AlB <sub>12</sub> , $-48 \pm 10$ kcal./mole, with the exptl. error due primarily to the uncertainties in impurities and in the heats of formation of combustion products.	GYJN
C. A. 1968.68.22		

1967

8 Б794. Диаграмма состояния системы алюминий—  
бор. Серебрянский В. Т., Эпельбаум В. А.  
~~Жданов Г. С.~~ «Ж. неорг. химии», 1967, 12, № 9,  
2486—2493

По данным высокотемпературного термографич. ана-  
лиза построена кривая ликвидуса системы Al—B. Най-  
дены температурные области существования алюминий-  
борных фаз. Путем закалки с соответствующих т-р  
получены  $\alpha\text{-AlB}_{12}$ ,  $\beta\text{-AlB}_{12}$  и  $\text{AlB}_{10}$ . Подтверждены ли-  
тературные данные о существовании  $\beta$ -ромбоэдрич.  
модификаций бора. Эта модификация получена путем  
криSTALLизации из расплавов бора в вакууме и в инерт-  
ной атмосфере.

Резюме

Х. 1968. 8

AlB<sub>10</sub>

1967

12 Б331. Определение кристаллической структуры AlB<sub>10</sub> методом молекулярной свертки. Will Georg  
Crystal structure analysis of AlB<sub>10</sub> by the convolution molecule method. «Acta crystallogr.», 1967, 23, № 6, 1071–  
1079 (англ.)

Проведено рентгенографич. исследование (методы прецессии и Вейссенберга,  $\lambda$ Mo- и Cu-K $\alpha$ ) кристаллов AlB<sub>10</sub>. Параметры ромбич. решетки:  $a$  8,881,  $b$  9,100,  $c$  5,690 Å,  $\rho$  (эксп.) 2,537,  $Z=5,2$ , ф. гр.  $B$  в  $mm$ . Модель структуры получена из двумерных синтезов Паттерсона методом мол. свертки. В основу решения положены жесткие группировки атомов В в виде правильных икосаэдров. Координаты атомов уточнены разностными синтезами электронной плотности и методом наимень-

Х. 1968 - 19

ших квадратов с учетом индивидуальных изотропных тепловых параметров;  $R(hkl) = 0,079$ . Структура содержит 52 атома В и 5,2 атомов Al; 48 В образуют 4 правильных икосаэдра со средним значением ребра В—В 1,810 Å и углом В—В—В в треугольных гранях 59,84°. Остальные 4 атома В и атомы Al распределены статистически по нескольким позициям (замещение В на Al в икосаэдрах отсутствует). Посредством мостиковых атомов В и Al, а также путем непосредственных контактов икосаэдры связаны в трехмерный каркас. Межатомные расстояния В—В и В—Al между соседними икосаэдрами 1,628—1,786 и 1,847—2,067 Å, соответственно. Контакты В—Al и Al—Al между атомами, не входящими в икосаэдры, 1,813—2,096 и 1,926—1,199 Å.

Н. Г. Шумяцкая

1969

Al B  
= -12

Si Al<sub>3</sub> B<sub>48</sub>

ЗБ851. О фазе  $\beta$ -AlB<sub>12</sub> в системе кремний — алюминий — бор. Ламихов Л. К., Неронов В. А., Речкин В. Н., Самсонова Т. И. «Изв. АН СССР. Неорг. материалы», 1969, 5, № 7, 1214—1217

При исследовании системы Si — Al — B методами рентгеновским и металлографическим установлено существование двух боридных фаз:  $\alpha$ -AlB<sub>12</sub> и тройного соединения SiAl<sub>3</sub>B<sub>48</sub>, кристаллизующегося в тетрагональном сингонии с параметрами ячейки  $a$  8,91;  $c$  5,05 Å. Сделан вывод, что ранее описанная фаза  $\beta$ -AlB<sub>12</sub> в действительности представляет собой тройное соединение.

Резюме

x. 1940 3

ALB

Hepouale B.A.

~~1969~~  
~~Ackeeley~~

MEX, 1969, 14, N6, 1704

K Company o Duaypame  
Cerrogrues cerrores AL-B

1969

AlB<sub>10</sub>

18 Б424. Фазовое превращение соединения AlB<sub>10</sub>. Will Georg. Phasenumwandlung von AlB<sub>10</sub>. «Z. Kristallogr.», 1969, 128, № 1—2, 156—158 (нем.; рез. англ.)

Установлено, что при нагревании монокристаллов AlB<sub>10</sub> (I) (параметры ромбич. решетки:  $a$  8,88,  $b$  9,10,  $c$  5,59 Å) на воздухе при т-ре 700° на их поверхности появляются белые иглоподобные кристаллы новой фазы, к-рая была рентгенографически (метод порошка) диагностирована как 2Al<sub>2</sub>O<sub>3</sub>·B<sub>2</sub>O<sub>3</sub>. При нагревании кристаллов I в атмосфере Не при т-ре 950° они переходят в до сих пор неизвестную высокот-рную ромбоэфрич. модификацию AlB<sub>10</sub> (II) с параметрами решетки:  $a$  6,97;  $\alpha$  68,4°; приведены значения  $d$ ,  $I$  и индексы  $hkl$  от II. Отмечено, что аналогичное фазовое превращение при высоких т-рах испытывает и изотипное с I соединение C<sub>4</sub>AlB<sub>24</sub>.

С. В. Рыкова

а. 1969.

18

*AlB<sub>x</sub>*

*1970*

1 Б802. Реакции протекающие при испарении алюминия в тиглях из нитрида бора. *Кірнег Кипо.* Reaktionen beim Verdampfen von Aluminium in Bornitridtiegeln. «Chem.—Anlagen—Verfahren», 1970, № 7, 64—66 (нем.)

Металлографическим исследованием отвердевшего расплава Al установлено, что при испарении Al с помощью электроннолучевого нагрева в вакууме  $10^{-5}$  мм протекает взаимодействие Al и BN с образованием в расплаве  $\text{AlB}_2$  и  $\text{AlB}_{12}$  на границе расплава с тиглем из BN.

Л. В. Шведов

*образование  
ные*

X. 1971. 1

AlB<sub>10</sub>

1970

14 Б320. О существовании AlB<sub>10</sub>: критический обзор кристаллических структур AlB<sub>10</sub> и C<sub>4</sub>AlB<sub>24</sub>. Will Ge-  
org. On the existence of AlB<sub>10</sub>: a critical review of the crystal structures of AlB<sub>10</sub> and C<sub>4</sub>AlB<sub>24</sub>. «Electron. Tech-nol.», 1970, 3, № 1—2, 119—126 (англ.)

Криссон.  
спр-ра

Проведено кристаллохим. рассмотрение известных структур боридов AlB<sub>10</sub> (I), C<sub>4</sub>AlB<sub>24</sub> (II) и C<sub>8</sub>Al<sub>2,1</sub>B<sub>51</sub> (III). Выявлено близкое структурное сходство I—III, к-рое проявляется даже в одинаковом характере распределения электронной плотности в пустотах трехмерного каркаса, сложенного икосаэдрами. На этом основании предполагается, что I—III представляют собой промежут. соединения между элементарным тетрагоном В и карбидом бора B<sub>4</sub>C (IV). При этом, если в структуре IV икосаэдры связаны между собой линейными цепями типа

X. 1971. 10



+1



$\begin{array}{c} \diagup \\ C-C-C \\ \diagdown \end{array}$ , то в I-III между икосаэдрами имеют ме-  
сто связи  $\begin{array}{c} \diagup \\ B-Al-B \\ \diagdown \end{array}$ .  $\begin{array}{c} \diagup \\ C-Al-C \\ \diagdown \end{array}$  и  $\begin{array}{c} \diagup \\ C-B-C \\ \diagdown \end{array}$ .

Предполагается, что Al оказывает стабилизирующее дей-  
ствие на структуры боридов с высоким содержанием B.

С. В. Рыкова

$\text{AlB}_2$

( $T_m$ )

12 Б362. Получение и свойства монокристаллов диборида алюминия. Sirtl E. Woerner L. M. Preparation and properties of aluminum diboride single crystals. «J. Cryst. Growth», 1972, 10, № 3, 215—218 (англ.)

1972

Взаимодействием избытка металлического Al с  $\text{B}_2\text{O}_3$  в присутствии S для образования легкоплавкого флюса  $\text{Al}_2\text{O}_3 \cdot x\text{Al}_2\text{S}_3$  получены пластинчатые монокристаллы  $\text{AlB}_2$ . Для спонтанного протекания р-ции применен разогрев смеси добавлением небольшого кол-ва порошкообразного Al и  $\text{KClO}_3$ . Т-ра р-ции  $> 1500^\circ$ . Более крупные кристаллы  $\text{AlB}_2$  образуются при р-ции металлического Al и аморф. В в графитовом тигле в вакууме при  $175^\circ$  в течение 350—400 час. В этом случае р-ция не доходит до конца.  $\text{AlB}_2$ , содержащий  $\text{A}_2\text{O}_3$ , частично разлагается по схеме  $6\text{AlB}_2 \rightarrow 5\text{Al} + \alpha\text{-AlB}_{12}$ . Приведена фазовая диаграмма системы Al—B. В системе существуют 2 соединения —  $\text{AlB}_2$  и  $\alpha\text{-AlB}_{12}$ , причем  $\text{AlB}_2$  плавится инконгру-

х. 1973 № 12

энтио при  $\sim 1500^\circ$  и образует вырожденную эвтектику с металлич. Al.  $AlB_2$  стабилен до т-ры плавления лишь в присутствии избытка Al. Измерение электрич. св-в на монокристаллах показало металлич. проводимость  $AlB_2$ . Уд. сопротивление  $AlB_2$  при коми. т-ре  $3,1-7,7 \cdot 10^{-5}$  ом·см. Конц-ия носителей тока, полученная из измерения эффекта Холла в интервале  $6 \cdot 10^{21}-4 \cdot 10^{22}/\text{см}^3$ , указывает на  $p$ -тип проводимости.  $AlB_2$  не обладает сверхпроводимостью  $> 1,5^\circ K$ .

М. Б. Варфоломеев

ALB<sub>2</sub>

омиса 5635

1977

Armstrong D.R.

et al.

Криогас.

сифон.

стабильность

J. Chem. Soc. Faraday-  
day Trans. II, 1977,  
73, 952-54.

$\text{AlB}_2$

1977

$\text{AlB}_{12}$  ( $\pi$ ) Barin J., et al

298-1800

mon II, cmp. 39, 40

298-2473

•  $(\text{Cu Ag})_I$

*AlB<sub>12</sub>*

1977

12 Б363. Кристаллическая структура  $\alpha$ -AlB<sub>12</sub>. Higashi Iwami, Sakurai Tosio, Atoda Tetsuzo. Crystal structure of  $\alpha$ -AlB<sub>12</sub>. «J. Solid State Chem.», 1977, 20, № 1, 67—77 (англ.)

С целью устранения противоречий и неясностей проведено рентгенографич. исследование кристаллич. структуры  $\alpha$ -AlB<sub>12</sub> (дифрактометр,  $\lambda$  Mo, 1478 отражений МНК в анизотропном приближении для атомов Al до  $R=0,03$ ). Кристаллы тетрагон,  $a$  10,158,  $c$  14,270;  $\rho$  (изм.) 2,55,  $\rho$  (выч.) 2,54;  $Z=4$ ; ф. гр.  $P4_12_12$  или  $P4_32_12$ . Элементарная ячейка содержит восемь B<sub>12</sub> икосаэдров, четыре B<sub>19</sub> агрегата, 4 атома бора и 13,0 атомов Al, распределенных статистически в 5 позициях внутри каркаса бора с занятостью 72, 49, 24, 15, и 2% соотв. Икосаэдры B<sub>12</sub> расположены т. о., что их пятер-

*Кристал-  
структ.*

X-1977 №2

ная и одна из двойных осей параллельны  $a$  и  $c$  осям соотв.  $B_{19}$  состоит из 2-х икосаэдров, сдвойниковых по одной из треугольных граней, и имеет 2 свободные позиции. Такая конфигурация установлена впервые. Каждый икосаэдр окружен 6 др. икосаэдрами, пятью  $B_{19}$  агрегатами и 1 атомом В. Межатомные расстояния В—В в икосаэдрах 1,736—1,858 Å, а между отдельными икосаэдрами и  $B_{19}$  полиэдрами 1,623—1,812 Å. Каждый  $B_{19}$  полиэдр связан с 10 икосаэдрами, 4 др.  $B_{19}$  и 2 связями с 1 атомом В. 3 остальных атома В, находящихся на плоскости сдвойникования, не связаны ни с какими внешними атомами. Атом В является мостиковым, связывающим 2 икосаэдра (1,874 Å) с одним  $B_{19}$  (1,794 Å). Кратчайшие расстояния Al—В 2,079, 2,043 и 2,02 меньше суммы ковалентных радиусов Al (1,26) и В (0,87), а расстояния между позициями Al (1)—Al (3, 4, 5) 1,216, 2,25, 0,55 Å, Al (3)—Al (5) 0,67 Å значительно меньше суммы ковалентных радиусов. Ф-ла соединения, подтвержденная хим. анализом,  $Al_{3,2} \cdot 2B_{12} \cdot B \cdot B_{19}$ .

*L-AlB<sub>12</sub>*

*1977*

18 Б524. Структура  $\alpha$ -AlB<sub>12</sub>. Kasper J. S., Vlass M., Naslain R. The  $\alpha$ -AlB<sub>12</sub> structure. «J. Solid State Chem.», 1977, 20, № 3, 281—285 (англ.)

Рентгенографически (автоматич. дифрактометр с монохроматором,  $\lambda$ Mo, МНК в анизотропном приближении для атомов Al,  $R=0,026$  по 2393 рефлексам) исследован  $\alpha$ -AlB<sub>12</sub> (I). Параметры тетрагон. решетки:  $a = 10,161$ ,  $c = 14,283$  Å,  $\rho$  (изм.) 2,65, ф. гр.  $P4_12_12$ . Атомы В в структуре I образуют каркас, построенный из икосаэдров B<sub>12</sub> и структурных единиц B<sub>19</sub>, образованных 2, сочлененных по граням икосаэдрами, в к-рых отсутствуют атомы В в вершине. Атомы Al статистически распределены в пустотах каркаса. Результаты работы совпадают с данными (РЖХим, 1977, 12Б363). ВоВ<sub>6</sub>, LiB<sub>6</sub> и  $\beta$ -тетрагон. В, имеющие параметры решетки и ф. гр., как I, не изоструктурны I. Предположено, что они имеют близкий структурный мотив.

Е. А. Писарев

*исследование  
структуры*

*X. 1977 № 18*

*AlB<sub>x</sub>*

*отмечено 6002*

*1977*

12 Б827. Масс-спектрометрическое изучение системы алюминий—бор. Kant Arthur, Moon Kenneth A. Mass-spectrometric study of the aluminum—boron system. «High Temp. Sci.», 1977, 9, № 2, 131—145 (англ.)

Эффузионным методом в сочетании с масс-спектрометрич. регистрацией исследовано давл. пара Al над системой Al—B в области составов AlB<sub>10</sub>—AlB<sub>90</sub> и в интервале т-р 1400—2000 К. Найдено, что при испарении из ZrB<sub>2</sub>-тигеля пар над системой Al—B состоит только из атомов Al. Наряду с известной ранее фазой AlB<sub>12</sub> (область гомогенности от  $x=12$  до  $x=15,5$ ) обнаружена фаза AlB<sub>x</sub> с областью гомогенности от  $x=24$  до  $x=40$ . Энталпии образования AlB<sub>12</sub>, AlB<sub>24</sub> и AlB<sub>10</sub>,  $\Delta H^{\circ}$ о, рассчитанные по III-му закону, составили  $37 \pm 4$ ,  $45 \pm 5$  и  $50 \pm 2$  ккал соотв. При испарении системы из ThO<sub>2</sub>-тигеля в газовой фазе обнаружены след. компоненты (в порядке убывания конц-ий): B<sub>2</sub>O<sub>2</sub>, AlBO<sub>2</sub>, Al, Al<sub>2</sub>O, BO. Сделан вывод об образовании в этих условиях фазы ThB<sub>2</sub> и стабилизированной кислородом фазы AlB<sub>12</sub> (AlB<sub>12</sub>O<sub>y</sub>). 43

*4/17*

*XV-3640*

*2 1978/12*

*В. В. Чепик*

*AlB<sub>x</sub>*

Ommuna 6002

1977

*x = 12, 24, 40.*

*Diff XW - 3640*

188: 80130x Mass spectrometric study of the aluminum-boron system. Kant, Arthur; Moon, Kenneth A. (Ariny Mater. Mech. Res. Cent., Watertown, Mass.). *High Temp. Sci.* 1977, 9(2), 131-45 (Eng). A combination of effusion and mass spectrometry was used to derive information about enthalpies and free energies in the Al-B system between 1400 and 2000 K. The range of compn. studied was B/Al at. ratios from 10 to 90. Two phases, AlB<sub>x</sub>, were obsd., with  $x = 12-15.5$  and  $x = 24-40$ . The 2nd phase has not previously been reported. Third-law heats of formation,  $\Delta H_f^{\circ}(AlB_x)$ , were  $37 \pm 4$ ,  $45 \pm 5$ , and  $50 \pm 2$  cal, resp., for  $x = 12$ ,  $24$ , and  $40$ . In expts. with thoria crucibles the enhanced O pressure stabilized the AlB<sub>12</sub> ratio, so that phases with  $x > 12$  were not obsd.

C.A., 1978, 22, 112

Al-B

(жидкий  
сплав)

19 Б857. Энталпии образования жидких сплавов алюминия с бором. Есин Ю. О., Колесников С. П., Баев В. М., Гельд П. В. «Хим. термодинам. и термохимия». М., 1979, 189—190

Калориметрически определены энталпии смешения компонентов при образовании жидк. сплавов алюминия с бором (от 0 до 60 ат.% В) при 1980 К. Результаты табулированы.

Автореферат

(AHf)

1979

XV-3653

Х-1949, N19

1979

$\alpha\text{-AlB}_{12}$   
 $\beta\text{-AlB}_2$

Система  
соструктуры

X. 1980  
№ 8

8 Б848. Условия получения, структура и некоторые свойства фаз в системе Al—B. Samsonov G. V., Negonov V. A., Lamikhov L. K. The conditions, structure and some properties of phases in the Al—B system. Proceedings of the 6th International Symposium on Boron and Borides, Varna, 1978. «J. Less—Common Metals», 1979, 67, № 2, 291—296 (англ.)

С помощью алюминотермии, нагревания прессованных порошкообразных смесей в электромагнитных тиглях при 1500—1600° в аргоне или нагревания порошкообразных смесей в графитовых тиглях при 1400° в аргоне получены фазы  $\alpha\text{-AlB}_{12}$  (I),  $\text{AlB}_2$  (II),  $\text{C}_4\text{AlB}_{24}$  (III) и  $\text{C}_2\text{Al}_3\text{B}_{48}$  (IV) в системах Al—B и Al—B—C. Исходными в-вами для получения I—IV служили  $\text{B}_2\text{O}_3$ ,  $\text{Al}_2(\text{SO}_4)_3$ , аморф.-B, Al, I и C в различных мол. соотношениях. Полученные фазы были идентифицированы с помощью хим. и дифрактометрич. анализа. Представлена структурная диаграмма системы Al—B. Фаза III — кристаллы черн. цвета, изоморфна  $\text{AlBi}_6$ , фаза IV — игольчатые кристаллы от янтарного до кор. цвета, изоморфна B-I.

Л. Г. Титов

*AlB<sub>12</sub>*

*Синтез*

*1980*

10 6562. Получение монокристаллов додекаборида алюминия — перспективного высокотвердого материала. Корсукова М. М., Попов В. Е., Гурин В. Н. «Сверхтверд. материалы», 1980, № 6, 7—9

Изучены условия образования различных модификаций AlB<sub>12</sub>. Приведены данные о периоде решетки, линейных размерах, микротвердости кристаллов. Сделан вывод, что дальнейшее исследование вхождения промесных атомов в решетку AlB<sub>12</sub> и их влияния на его структуру и св-ва представляет значит. теор. и практический интерес, в частности для создания высокоэффективных теплопроводных абразивных материалов на основе додекаборида алюминия.

Автореферат

*Х.1981.110*

AlB<sub>2</sub>

Lommel 9979

1980

Mulokozi J. M.

( $\Delta H_f$ )

J. Less-Common Metals  
1980, 71, 105-111.

(cu. Sc Ba) T

*AlB<sub>12</sub>*

1983

) 21 Б393. Распределение алюминия в каркасе из атомов В в структуре  $\gamma$ -AlB<sub>12</sub>. Aluminum Distribution in the Boron Framework of  $\gamma$ -AlB<sub>12</sub>. Higashi Iwami. «J. Solid State Chem.», 1983, 47, № 3; 333—349 (англ.)

Рентгенографически определена структура (дифрактометр,  $\lambda$  Mo, анизотропный МНК,  $R$  2,9% для 5282 отражений) высокот-рной модификации  $\gamma$ -AlB<sub>12</sub>. Параметры ромбич. решетки:  $a$  16,573 Å,  $b$  17,510,  $c$  10,144,  $\rho$ (изм.) 2,5,  $\rho$ (выч.) 2,53,  $Z$  4, ф. гр.  $P\bar{2}_1\bar{2}_1\bar{2}_1$ . Каркас из атомов В в структуре  $\gamma$  родственен по строению каркасу структуры низкот-рной модификации  $\alpha$ -AlB<sub>12</sub> и представляет собой сочетание структурных единиц B<sub>48</sub>, образованных 4 икосаэдрами B<sub>12</sub> (В—В внутри изоксаэдр 1,713—1,976 Å, между ними 1,602—1,914). Атомы Al занимают 11 кристаллографически независимых положений внутри каркаса, ни одно из к-рых не является полностью заселенным (так же как и в случае структу-

*Структура*

*X. 1983, 19, № 21*

ры  $\alpha$  и др. родственных структур  $C_4AlB_{24}$ ,  $C_8Al_{2,1}B_{51,1}$ ,  $AlB_{10}$ ). В координац. окружение атомов Al входит 10—14 атомов B ( $Al-B$  2,027—2,875). Анализ характера распределения заряда по структуре в приближении метода молекулярных орбиталей позволил предложить для  $\gamma$  ионную ф-лу:  $20/3\ Al^{3+} \cdot 4B_{12}^{2-} \cdot 2B_{20}^{6-}$ .

С. В. Соболева

$\text{AlB}_2$

(No. 24080)

1986

Borovikova M. S.,  
Fesenko V. V.,

§<sup>o</sup>  
298,  
Oijemika

J. Less-Common Metals,  
1986, II, 287-291.

*AlB<sub>31</sub>*

1989

24 Б2023. Рентгеноструктурное исследование AlB<sub>31</sub> с β-ромбоэдрической структурой бора. Single-crystal X-ray diffraction study of AlB<sub>31</sub> of the β-rhombohedral boron structure / Higashi I., Iwasaki H., Ito T., Lundström T., Okada S., Tergenius L.-E. // J. Solid State Chem.— 1989.— 82, № 2.— С. 230—238.— Англ.

Проведены синтез дуговой плавкой из кристаллов α-AlB<sub>12</sub> и РСТА кристаллов AlB<sub>31</sub>. Параметры ромбоэдрич. решетки в гексагон. установке  $a$  10,965,  $c$  23,868, ф. гр.  $R\bar{3}m$ . Структура состоит из 3-мерного каркаса β-ромбоэдрич. В, пустоты к-рого типа  $A_1$  (1 позиция) и  $D$  (5 позиций) частично заняты атомами Al.

Л. А. Бутман

X. 1990, N 24.

Бориды

1990

и карбобориды

Al

752298. Бориды и карбобориды алюминия. Aluminium borides and carboborides /Prikhna T. A., Kisly P. S. //Boron-Rich Solids: Pap.. 10th Int. Symp. Boron, Borides, and Relat. Compounds, Albuquerque, N. M., 1990 .—New York (N. Y.) 1991 .—С. 590—593 .—Англ.

Исследованы морфология, электросопротивление, микротвердость, вязкость на излом, хим. устойчивость, сопротивление к окислению, спектры ЭПР и ИК-спектры для монокристаллов боридов  $\text{AlB}_2$  (I),  $\alpha\text{-AlB}_{12}$  (II),  $\gamma\text{-AlB}_{12}$  (III), а также карбоборидов  $\text{Al}_3\text{C}_2\text{B}_{48}$  (IV) и  $\text{AlC}_4\text{B}_{23}$  (V) алюминия, выращенных из р-ра в расплаве. Найдено, что кроме I, соед. I—V устойчивы в расплаве KOH-NaOH (1:1). I хорошо растворим в конц. р-рах  $\text{HNO}_3$ ,  $\text{HCl}$ ,  $\text{H}_2\text{SO}_4$ , а остальные в-ва растворяются слабо (3-5% масс. за 3 ч). Оптич. х-ки II и IV определяются вз-вием между Al и B. В инертной атмосфере только для I на кривой ДТА наблюдается эндотермич. пик (1343—1433 К), соотв-щий распаду на II и Al. При нагревании на воздухе IV и V показано, что их окисление (привес  $\sim 4$  мг/ч) начинается при 773 К, а интенсивное окисление (привес  $\sim 40$  мг/ч) — при 1553 К для IV и 1643 К для V.

Ф. М. Спиридонов

Х. 1993, № 7

АЛВХ

1990

10 Б2002 К. Бориды алюминия / Кислый П. С.,  
Неронов В. А., Прихна Т. А., Бевза Ю. В. // Киев:  
Наук. думка, 1990.— 191 с.: ил.— Рус.

Обобщены данные о получении, структуре и св-вах  
боридов алюминия. Рассмотрены их крист. строение,  
термодинамич., теплофиз., электрофиз., оптич., механич.  
и хим. св-ва. Описаны методы синтеза боридов, выра-  
щивания монокристаллов, получения из них изделий,  
а также процессы формирования композиц. материалов  
на их основе. Библ. 207.

По резюме

(обзор)

X. 1991, N 10

АБХ

1990

) 5 Е6К. Бориды алюминия / Кислый П. С., Неронов-  
В. А., Прихна Т. А., Бевза Ю. В.— Киев: Наук. думка,  
1990.— 191 с.: ил.

В монографии впервые в отечественной литературе обобщены данные о получении, структуре и свойствах боридов алюминия. Рассмотрены их кристаллич. строение, термодинамические, теплофизические, электрофизические, оптические, механические и хим. свойства. Описаны методы синтеза боридов, выращивания монокристаллов, получения из них изделий, а также процессы формирования композиционных материалов на их основе.

Резюме

φ, 1991, N5

1991

AlB<sub>2</sub>

(3298)

①

115: 58445h Bonding properties and vibrational entropy of transition metl. MB<sub>2</sub> (AlB<sub>2</sub>) diborides. Fernandez Guillen et al., Armando; Grimvall, Goeran (Consejo Nac. Invest. Cient. Tec., Cent. At. Bariloche, 8400 San Carlos de Bariloche, Argent.). *J. Less-Common Met.* 1991, 169(2), 25.-81 (Eng). The transition metal diborides MB<sub>2</sub> were chosen as an example to illustrate an approach by which existing thermodn. information can be systematized and new information generated. Trends in the melting temp., the enthalpy of formation and lattice vibration properties as the metal M varies along the 3d, 4d and 5d transition metal series. The trends show a consistent picture which can be explained from the electronic d. of states by a rigid-band-like argument. This fact gives confidence to apply the regularities and obtain new information by interpolation and extrapolation procedures. In particular, the std. entropy S° at 298.15 K is estd. for stable AlB<sub>2</sub> structure compds. where there are no previous measurements and for some metastable compds. (M : Sc, V, Cr, Mn, Y, Mo, Tc, W and Re). The results are compared with ests. based on various empirical methods. In the M-B systems, the MB<sub>2</sub> phase may be stable at all temps., or be a high-temp. phase or a metastable phase. We explain the obsd. trend. Through the use of thermodn. phase diagram calcia. (the so-called CALPHAD method), we study the thermodn. properties of the metastable AlB<sub>2</sub> structure phase rel<sub>32</sub>.

C.A.1991, 115, N6 B-Sporadic Metalloc / 222moy, 3298

AlB<sub>10</sub>

1991

652501. Пленки борида алюминия ( $AlB_{10}$ ). Films of aluminium boride ( $AlB_{10}$ ) /Golikova O. A., Kazanin M. M., Mirzazhonov Z., Khomidov. T., Shiyanov Yu. A. //Boron-Rich Solids: Pap. 10th Int. Symp. Boron, Borides, and Relat. Compounds, Albuquerque, N.M., 1990.—New York (N. Y.) , 1991.—С. 117—120.—Англ.

Исследована электропроводность ПЛ аморф. и крист.  $AlB_{10}$ , полученных испарением смеси  $B + Al_2O_3$  и осаждением при т-рах 300—400°С на подложках из стекла или сапфира. Первоначально ПЛ были аморф., а продолжит. отжиг в вакууме приводил к кристаллизации ПЛ. Проводимость аморф. ПЛ уменьшалась с ростом т-ры осаждения, что свидетельствует об уменьшении плотности локализованных состояний в щели подвижности с ростом т-ры осаждения. Кристаллизация ПЛ ведет к уменьшению проводимости. Проведено сравнение св-в гексагон.  $AlB_{10}$  со св-вами др. боридов алюминия.

В. Ф. Байбуз

Х. 1993, № 6

ALB<sub>12</sub>

1991

Gosset D., Gecry M. et al.

Boron-Rich Solids: Pap. 10th  
Int. Symp. Boron, Borides, and  
Minerals. Relat. Compounds, Albuquerque-  
CB-8A  
Gee, N. M., 1990. New York (N.Y.)  
1991. C. 380-383.

(C22.      BAC; I)

AB12

1991

Bosser D., Guerry M.,  
et al.,

Boron - Rich Solids: Pap.

10th Int. Symp. Boron  
Borides, and Relat. Compounds,  
Albuquerque, N.M.,

(all-BNL; I) 1990. - New

YORK (N.Y.), 1901. C. 380-383.

AlB<sub>12</sub>

1991

6 E241. Влияние структурных дефектов на теплопроводность поликристаллических AlB<sub>12</sub> и EuB<sub>6</sub>. The effect of structural defects on thermal conductivity of polycrystalline AlB<sub>12</sub> and EuB<sub>6</sub> / Kekelidze L. I., Bairamashvili I. A., Kovtun V. N., Petrov I. I., Tavartkiladze D. K. // Boron-Rich Solids : Pap. 10th Int. Symp. Boron, Borides and Relat. Compounds, Albuquerque, N. M., 1990 . — New York (N. Y.) , 1991 . — С. 371—375 . — Англ.

С помощью феноменологич. теории анализируется экспериментальная температурная зависимость теплопроводности  $\lambda(T)$  поликристаллических AlB<sub>12</sub> и EuB<sub>6</sub> в интервале т-р 300—1300К. Обнаружено влияние на  $\lambda(T)$  структурных дефектов. Определена дебаевская т-ра  $\Theta_{\text{AlB}_{12}}=1064\text{K}$  и  $\Theta_{\text{EuB}_6}=852\text{K}$  и средняя скорость фононов  $V_{\text{AlB}_{12}}=1.04 \cdot 10^4 \text{ м/с}$  и  $V_{\text{EuB}_6}=5.9 \cdot 10^3 \text{ м/с}$ .

В. Оскотский

⊗

④

φ. 1993, N 6

AlB<sub>12</sub>

1991

7 Б2252. Влияние структурных дефектов на теплопроводность поликристаллических AlB<sub>12</sub> и EuB<sub>6</sub>. The effect of structural defects on thermal conductivity of polycrystalline AlB<sub>12</sub> and EuB<sub>6</sub> /Kekelidze L. I., Bairamashvili I. A., Kovtun V. N., Petrov I. I., Tavartkiladze D. K. //Boron—Rich Solids: Pap. 10th Int. Symp. Boron, Borides, and Relat. Compounds, Albuquerque, N. M., 1990.—New York (N. Y.), 1991.—С. 371—375.—Англ.

На основании эксперим. исследований т-рной (300—1300° С) зависимости теплопроводности  $\lambda(T)$  поликрист. образцов AlB<sub>12</sub> (I) и EuB<sub>6</sub> (II) рассчитаны теор. кривые  $\lambda(T)$  для I и II в том же интервале т-р. Определено влияние основных структурных дефектов на коэф. теплопроводности I и II. Вычислены также дебаевские т-ры для I и II. Получены значения коэф. теплопроводности для образцов I и II с теор. плотностью. Ф. М. Спиридонов

(1)

(2)

X. 1993, N 7

*AlB<sub>12</sub>*

1991

115: 216324z The effect of structural defects on thermal conductivity of polycrystalline aluminum boride ( $\text{AlB}_{12}$ ) and europium boride ( $\text{EuB}_6$ ). Kekelidze, L. I.; Bairamashvili, I. A.; Kovtun, V. N.; Petrov, I. I.; Tavartkiladze, D. K. (Inst. Stable Isot., Tbilisi, USSR). *AIP Conf. Proc.* 1991, 231(Boron-Rich Solids), 371-5 (Eng). Exptl. results were used to calc. the temp. dependence of the thermal conductivities ( $\lambda$ ) of  $\text{AlB}_{12}$  and  $\text{EuB}_6$  at  $T = 300\text{--}1300$  K and the theor. curves  $\lambda = f(T)$  were constructed. The effect of basic structure defects was estd. The Debye temps. were calcd.

④  $\text{EuB}_6$

C.A. 1991, 115, N20

Архив

1991

№ 5 Б3080. Исследование процесса уплотнения соединений системы Al—B—C с высоким содержанием бора.  
Investigation: the process of densification of boron-rich compounds of the Al—B—C system /Kharlamov A. I., Loichenko S. V. //Boron-Rich Solids: Pap. 10th Int. Symp. Boron, Borides, and Relat. Compounds, Albuquerque, N. M., 1990.—New York (N. Y.) ,1991 .—С. 473—481 .—Англ.

Исследован процесс гор. прессования порошков  $\alpha$ -AlB<sub>12</sub>, Al<sub>3</sub>B<sub>48</sub>C<sub>2</sub>, Al<sub>8</sub>B<sub>4</sub>C, и B<sub>4</sub>C. Найдено, что т-рный интервал интенсивного уплотнения для всех исследованных в-в очень узок. Введение примесей и дополнит. измельчение сдвигают зону интенсивного уплотнения к более низким т-рам примерно на 50—70 К. Конечная плотность зависит от дисперсности исходного порошка, давл. прессования и скорости нагрева при прессовании. Рекомендуется проводить прессование при условиях, когда процесс уплотнения не очень интенсивен, что позволяет избежать образования закрытых пор в прессуемом материале.

В. Ф. Байбуз

Х. 1993, № 5

$\text{Al}_n \text{B}_m^-$

1994

Kaya Koji,  
Nakajima Atsushi.

стабиль-

ность

и  $A_f H$

обзор

Adv. Met. Semicond.

Clusters 1994, 2, 87-114.

(Coll.  Lin Nam; I)

$\text{AlB}_2$

1999

F: Ni-Al

P: 1

ЗБ385. Термодинамическая оценка системы Ni-Al-B. A thermodynamic assessment of the Ni-Al-B system / Campbell C.  
E., Kattner U. R. // J. Phase Equilibria 1999. - 20, 5.  
- С. 485-496. - Англ.

а основе имеющихся лит. данных проведена термодинамич. оценка системы Ni. Проведен пересмотр данных для бинарных систем Ni-B и Al-B в предположении В является элементом внедрения в г. ц. к. структуре, а не элементом замещ. Кроме того описание бинарной системы Al-B модифицировано за счет учета не полученных эксперим. данных по съ-вам

плавления AlB[12]. а основе оценки бинарных систем Ni-Al, Al-B и Ni-B получено оптимизированное описание тро. системы Ni-Al-B и рассчитаны изотермич. сечения фазовой диаграммы при 800 1000рС. Система Ni-Al-B состоит из жидкой фазы, двух тв. р-ров, 12 бинарн интерметаллич. соединений и трех тройных интерметаллич. соединений. Библ.

2000

F: AlB<sub>2</sub>

P: 1

133:94825      Equation of state of AlB<sub>2</sub>.    Tian, De-  
Cheng; Tian, Zhi-Dong; Mei, Xue-Fei Department of  
Physics, Wuhan University      Wuhan 430072, Peop. Rep.  
China      Wuhan Daxue Xuebao, Ziran Kexueban, 46(1), 76-78  
(Chinese) 2000.      Based on the theor. calcn. of the  
electronic structure under pressure of AlB<sub>2</sub>, we calcd.  
the function of H(x). It is demonstrated that ln H(x)  
varies linearly with 1 - x, which shows that AlB<sub>2</sub>, a  
compd. with mixed bonding character, satisfies the  
Universal Equation of State (UEOS) proposed by Vinet et  
al. The isothermal pressure-vol. relation at room temp.  
has also been calcd.